

I-17 水平荷重によるラーメンの動的弾塑性解析

九州大学 正員 山崎徳也
学生員 ○黒木健実

1. 序言

ラーメンの動的挙動は、ラーメンを構成する柱とはりの力学的性状、基礎の支持条件、動的荷重の種類およびその載荷位置などによって異なり、したがってその崩壊形式も一様ではない。しかしながら基礎の支持条件を固定とすれば崩壊形式は大別して

- (1) 柱頭または柱脚に塑性ヒンジが発生し、何本かの柱にそれが完成したとき崩壊する形式
 - (2) はりの端部に塑性ヒンジが発生し、はりの端部の何ヶ所かにそれが完成したとき崩壊する形式
- を考えよう。

本論文は著者らのラーメンの動的弾塑性解析に関する研究の第1報として、上記(1)の崩壊形式を有するラーメン、すなわちはりの曲げ剛性が柱のそれと並んで近似的にはりを剛体と見做しうるラーメンの水平荷重による動的挙動を明確にすべく、ラーメンを多質点系に置換して取り扱う解析法を提示するものである。

2. 弹性時

はりを剛体と見做しうるラーメンの節点に水平荷重が作用する場合、各節点の水平変位は柱の変形のみによって生じ、荷重をある限度以上に増加すれば柱頭および柱脚に塑性ヒンジが発生してラーメンは崩壊に至る。かかるラーメンの解析を容易にするために図-1に示すモデルを導入する。すなわち対象とするラーメンを、各部材が剛棒で構成され、かつ柱頭および柱脚には図-2のごとき水平移動を可能とするばねを有するモデルに置換する。なお、柱の質量に関しては柱頭および柱脚にそれぞれそり $1/2$ を集中するものと考える。

ばね定数の決定

仮定によりはりは剛体と見做しうるが、各柱は両端固定である。よって置換前の任意の柱を取出して、これに単位の部材角を与えると柱に貯えられるポテンシャルエネルギーが次式で表わされる。

$$\frac{6EI}{h} \cdot I^2 \quad (1)$$

ただし EI : 曲げ剛性、 h : 柱の高さ

同様にして置換後の柱が有するポテンシャルエネルギーを求めると次式となる。

$$K \cdot I^2 \quad (2)$$

よって式(1), (2)を等置すれば、ばね定数が次の式と求められる。

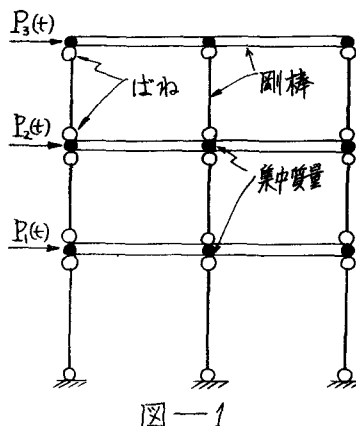
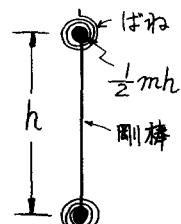


図-1



m : 柱の単位長さ当たり質量

図-2

$$K = \frac{6EI}{h} \quad (3)$$

ここにばねを理想弾塑性体と仮定して曲げモーメントM一部材角R関係を図示すると図-3のとくである。

弾性時判別式および曲げモーメント 時刻tにおけるばねは弾性で、M-R関係がAD, BC, FE上(左にA, B, C, D, E, F真は含まない)のいずれかにあると仮定すれば、時刻t-たるにあっても弾性であるように微小時間さざみをとることができる。そうすると時刻t-たるからtまでの微小時間にあける塑性部材角の変化量はのとなり、時刻tにおける塑性部材角は時刻t-たるにおける塑性部材角に等しくなる。すなわち

$$R^p(t) = R^p(t-t_0) \quad (4)$$

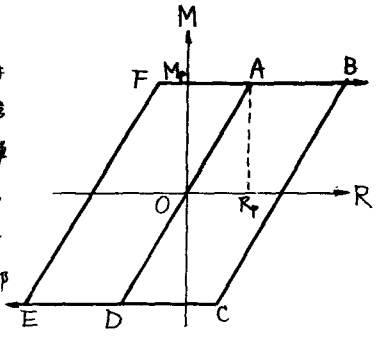


図-3

一方、部材角は弾性部材角R^eと塑性部材角R^pの和として表わされるゆえ常に次式が成立する。

$$R(t) = R^e(t) + R^p(t) \quad (5)$$

$KR^e(t)$ がこのときの曲げモーメントM(t)で、式(5)に式(4)を代入し、(5)の後两边にKを掛けて整理すればM(t)が次のとく求められる。

$$M(t) = KR(t) - KR^p(t-t_0) \quad (6)$$

式(6)の曲げモーメントの絶対値は当然動的塑性曲げモーメントM_pより小さくゆえ次式が成立する。

$$|M(t)| = |KR(t) - KR^p(t-t_0)| < M_p \quad (7)$$

式(7)が弾性時の判別式で、二つ式が成立するとき曲げモーメントは式(6)で与えられることがわかる。

運動方程式および水平変位の算定式 これら層ラーメンが有するポテンシャルエネルギーEを曲げモーメントで表わせば次式となる。

$$U = \sum_{i=1}^m \sum_{j=1}^{n+1} \frac{jM_i^2}{jK_i} \quad (8)$$

ただし jK_i および jM_i はそれぞれ i 層 j 番目の柱のばね定数および曲げモーメントである。

一方、 i 層のはりの重量および i 層に集中する柱の重量を一括して W_i 、速度を \dot{x}_i とおけば、ラーメン全体の運動エネルギーTは次のとく簡単な式となる。

$$T = \sum_{i=1}^m \frac{1}{2} \frac{W_i}{g} \dot{x}_i^2 \quad (9)$$

よって式(8), (9)をLagrangeの方程式に適用すれば次式がえられる。

$$\frac{W_i}{g} \ddot{x}_i + \sum_{j=1}^{n+1} \left[\frac{2M_i}{jK_i} \frac{\partial M_i}{\partial x_i} + \frac{2M_{i+1}}{jK_{i+1}} \frac{\partial M_{i+1}}{\partial x_i} \right] = P_i \quad (10)$$

ここで i 層の部材角 R_i が i 層および $i-1$ 層の水平変位の差として

$$R_i = \frac{x_i - x_{i-1}}{h_i} \quad (11)$$

で表わされることを考慮すれば、式(6), (10)より所要の運動方程式が次のとく求められる。

$$\frac{W_i}{g} \ddot{x}_i + \sum_{j=1}^{n+1} \left[\frac{2jM_c}{h_c} - \frac{2jM_{c+1}}{h_{c+1}} \right] = P_i \quad (12)$$

式(12)より各層の水平変位の算定式がえられるが、その手法は次のとくである。まず式(12)に初期条件 $M(0)=0$ を適用すると、動的荷重載荷時の加速度 $\ddot{x}(0)$ がえられ、載荷後の微小時刻 t の水平変位は次式でえられる。

$$x_i(t) = \frac{t^2}{2} \frac{g}{W_i} P_i(0) \quad (13)$$

次いで式(12)を差分方程式に変換して、時刻 $t+k$ における水平変位 $x_i(t+k)$ について整理すれば式(14)をうる。

$$x_i(t+k) = -\frac{k^2 g}{W_i} \sum_{j=1}^{n+1} \left[\frac{2jM_c(t)}{h_c} - \frac{2jM_{c+1}(t)}{h_{c+1}} \right] + \frac{k^2 g}{W_i} P_i(t) + 2x_i(t) - x_i(t-k) \quad (14)$$

3. 塑性時 塑性時判別式および塑性部材角

(i) $M-R$ 関係が FB 上にある場合 曲げモーメントは一定値 M_p をとり、塑性部材角が増加する。いま、時刻 $t-k$ から t までの塑性部材角の増加量を $\Delta R^p(t-k)$ とおくと、時刻 t における塑性部材角 $R^p(t)$ は次式で表わされる。

$$R^p(t) = R^p(t-k) + \Delta R^p(t-k) \quad (15)$$

一方式(5)は、この場合 $R^e(t) = R_p$ ($\forall t$ 且 R_p は M_p に対応する部材角) であるから

$$R(t) = R_p + R^p(t) \quad (16)$$

となる。よって式(16)に式(15)を代入し、(かう後両辺に K を掛ければ $\Delta R^p(t-k)$ が次のとく求められる。

$$\Delta R^p(t-k) = \frac{1}{K} [KR(t) - KR^p(t-k) + M_p] \quad (17)$$

次いで $\Delta R^p(t-k) \geq 0$ なることを考慮すれば $R^p(t) \geq R^p(t-k)$ が成立し、この式を式(16)に適用すると次の関係式がえられる。

$$R(t) \geq R_p + R^p(t-k) \quad (18)$$

したがって $M-R$ 関係が FB 上にある場合の判別式は次式で与えられることとなる。

$$KR(t) - KR^p(t-k) \geq M_p \quad (19)$$

(ii) $M-R$ 関係が CE 上にある場合 この場合は曲げモーメントは $-M_p$ となり、塑性部材角は減少する。したがって $R^e(t) = -R_p$, $\Delta R^p(t-k) \leq 0$ を用り、(i)と同様にして $\Delta R^p(t-k)$ および判別式を求むると式(20), (21)をうる。

$$\Delta R^p(t-k) = \frac{1}{K} [KR(t) - KR^p(t-k) + M_p] \quad (20)$$

$$KR(t) - KR^p(t-k) \leq -M_p \quad (21)$$

運動方程式および水平変位の算定式 ばねが塑性のとき、ばねには塑性ヒンジが形成され、一定の曲げモーメントの下で部材角が変化する。かかる状態のばねはポテンシャルエネルギー = const で、外力モーメント M_p (または $-M_p$) が作用してヒンジと見做しうるゆえ、例えば、 $M_c = M_p$ なるときは式(10)の Lagrange 方程式において $\partial M_c / \partial x_i = 0$ となるが、一般力として弾性時と同様に $-2M_p/h_c$ が加味されるので、塑性時の運動方程式は弾性時のそれと合致する。したがって塑性時の水平変位の算定式もまた式(14)で表わされることとなる。

ここに弾性時および塑性時の基本式を要約し、解法の手順を述べれば次の二通りである。

	弾性時	塑性時	
判別式	$ KR(t) - KR^p(t-\tau_k) < M_p$	$KR(t) - KR^p(t-\tau_k) \geq M_p$	$KR(t) - KR^p(t-\tau_k) \leq -M_p$
曲げモーメント	$M(t) = KR(t) - KR^p(t-\tau_k)$	$M(t) = M_p$	$M(t) = -M_p$
塑性部材角の変化量	$\Delta R^p(t-\tau_k) = 0$	$\Delta R^p(t-\tau_k) = \frac{1}{K} [KR(t) - KR^p(t-\tau_k) - M_p]$	$\Delta R^p(t-\tau_k) = \frac{1}{K} [KR(t) - KR^p(t-\tau_k) + M_p]$

弾性時・塑性時に共通な式

$$\text{塑性部材角 } R^p(t) = R^p(t-\tau_k) + \Delta R^p(t-\tau_k)$$

$$\text{水平変位 } X_i(t+\tau_k) = -\tau_k^2 \frac{g}{Mc} \sum_{j=1}^{n+1} \left[\frac{2_j M_i(t)}{h_{i,j}} - \frac{2_j M_{cr,i}(t)}{h_{i,j}} \right] + \tau_k^2 \frac{g}{Mc} P_i(t) + 2X_i(t) - X_i(t-\tau_k)$$

$$\text{部材角 } R_i(t) = \frac{X_i(t) - X_{i-1}(t)}{h_i}$$

まず式(3)より荷重載荷後の微小時刻における各層の変位を求め、次いで部材角を算定する。それ以後は次に列記する順序で繰返し演算を行なうことで各時刻における曲げモーメント、塑性部材角および水平変位が算出可能となる。

(1) 判別式を用いて弾性時・塑性時の判別をする。

(2) 曲げモーメント、塑性部材角の変化量および塑性部材角を計算する

(3)(2)の結果を用いて次の時刻の水平変位を求める、これを部材角に変換する

4. 数値計算

図-4のラーメンは図-5
に示す動的荷重を作用させ、
Pをパラメータとして計算
を行なった。ただし $E = 2.1$
 $\times 10^5 \text{ kg/cm}^2$, $I_1 = 1.07 \times 10^4 \text{ cm}^4$,
 $m_1 g = 0.713 \text{ kg/cm}$, $h_1 = 400$
 cm , $\alpha\beta = 3$

図-6が水平変位一時間曲
線で、変位は静的降伏変位で
除して無次元化したものであ
る。

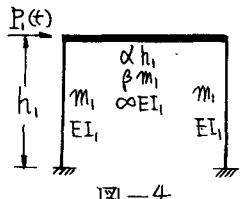


図-4

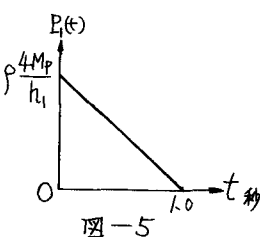


図-5

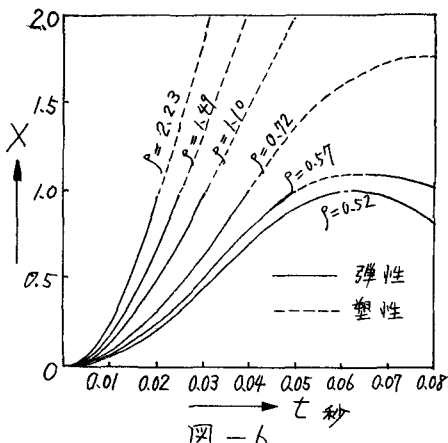


図-6

5. 結語

本研究は、はりを柱に較べて剛体と見做しうるラーメンに動的水平荷重が作用する場合の弾塑性解析法を提案したもので、本法によればさしに衝撃荷重および水平地動を考慮した解析も可能となる。なお、数値計算においては安全性の尺度として、最大部材角 R_{max} と降伏部材角 R_y の比、すなわち $ductility factor$ (延性率) の決定が問題となるが、これまでには各種構造材料の実験結果や安全率などを考慮して決定されるべきものといえる。